



Klimaszenarien fürs zukünftige Innenraumklima (SIA 2028)

Beschrieb

der stündlichen Klimadatenätze für die Zukunft in Ergänzung zu SIA 2028

Kathrin Wehrli, Stefanie Gubler, Sven Kotlarski, Andreas Fischer

Bundesamt für Meteorologie und Klimatologie MeteoSchweiz

Zürich-Flughafen, 1. Februar 2022

Inhaltsverzeichnis

1 Hintergrund	1
2 Klimaszenarien CH2018	2
3 Umfang der bereitgestellten Daten	3
3.1 Stationen	3
3.2 Zeiträume	5
3.3 Emissionsszenarien	5
3.4 Referenzjahre: typisches Jahr und warmer Sommer	5
4 Benennung der Datenfiles	5
5 Strukturierung der Datenfiles	6
6 Methoden	7
6.1 Verwendung von Messdaten und berechnete Daten	7
6.2 Erstellung der Referenzjahre	7
Referenzen	8
Anhang	9

1 Hintergrund

Im Rahmen des Projektes «Klimaangepasstes Bauen - Grundlagen für die Zukunft» hat das Bundesamt für Meteorologie und Klimatologie MeteoSchweiz stündliche Grundlagendaten in physikalischer Konsistenz erstellt, die das mögliche zukünftige Klima gemäss Klimaszenarien CH2018 abbilden. Die Daten wurden in Zusammenarbeit mit dem Pilotprojekt A.15 «Aktuelle Klimadaten für Bauplanende» des Pilotprogramms zur Anpassung an den Klimawandel erstellt. Die vorliegende Nutzungsanleitung beschreibt die bereitgestellten Daten, nachfolgend *Referenzjahre* genannt, für Nutzende.

2 Klimaszenarien CH2018

Grundlage für die Erstellung der Referenzjahre für die Zukunft sind die fehlerkorrigierten, lokalen Datensätze aus den Schweizer Klimaszenarien CH2018 an Stationen (CH2018, 2018; NCCS, 2018). Diese basieren auf mehreren Simulationen mit Klimamodellen, welche unterschiedliche Annahmen zur zukünftigen Entwicklung der globalen Treibhausgasemissionen in Betracht ziehen. Emissionsszenarien beschreiben mögliche Entwicklungen der globalen Emissionen von Treibhausgasen und Aerosolen basierend auf unterschiedlichen Annahmen zur sozioökonomischen Entwicklung und dem technischen Fortschritt. Bei der Erstellung der Referenzjahre für die Zukunft wurden folgende zwei Szenarien berücksichtigt:

- **Kein Klimaschutz (RCP8.5):** Klimaschutzmassnahmen werden nicht ergriffen. Trotz des technischen Fortschritts nehmen daher die klimawirksamen Emissionen stetig zu – und mit ihnen die Erwärmung.
- **Konsequenter Klimaschutz (RCP2.6):** Mit einer umgehend eingeleiteten Senkung der Emissionen auf praktisch Null wird der Anstieg der Treibhausgaskonzentration in der Atmosphäre bis etwa in 20 Jahren gestoppt. Damit lassen sich die Ziele des Pariser Klimaabkommens von 2015 wahrscheinlich erreichen und die globale Erwärmung auf zwei Grad Celsius gegenüber dem vorindustriellen Zustand begrenzen.

Abbildung 1 zeigt die zukünftige Entwicklung der zwei Szenarien RCP2.6 und RCP8.5.

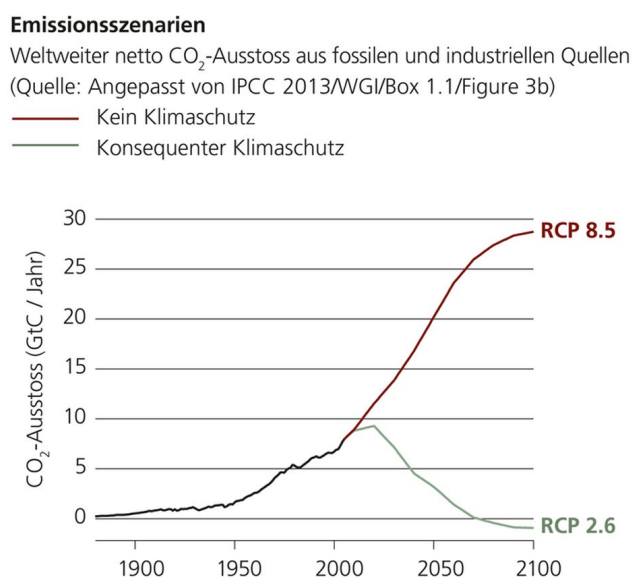


Abbildung 1: Gemessene und projizierte Treibhausgasemissionen unter Annahme der zwei Emissionsszenarien RCP2.6 und RCP8.5. Quelle: NCCS (2018).

Die Resultate der zukünftigen Klimasimulationen liegen für unterschiedliche Zeitpunkte bis 2100 vor. Für das vorliegende Projekt wurde ein Zeithorizont in *naher Zukunft* um 2035 (2020-2049) und ein Zeithorizont *Mitte des Jahrhunderts* um 2060 (2045-2074) betrachtet. Im Zeitraum «2035» ist gemäss RCP2.6 mit einer Erwärmung der Jahresmitteltemperatur von +0.6°C bis +1.6°C zu rechnen gegenüber der Normperiode 1981-2010. Unter Annahme von RCP8.5 ist eine geringfügig höhere Erwärmung erwartet. Bis Mitte des Jahrhunderts ist eine Temperaturerhöhung von +0.7°C bis +1.9°C für RCP2.6 und +2.0°C bis +3.3°C für RCP8.5 möglich.

Mehr Details zu den Klimaszenarien CH2018 sowie zu Emissionsszenarien sind über www.klimaszenarien.ch erhältlich.

3 Umfang der bereitgestellten Daten

Insgesamt werden Referenzjahre für 41 SwissMetNet¹ Stationen sowie für 4 Stadtstationen bereitgestellt. Die Stationen sind in Abbildung 2 sowie in Tabelle 1 genauer beschrieben.

3.1 Stationen

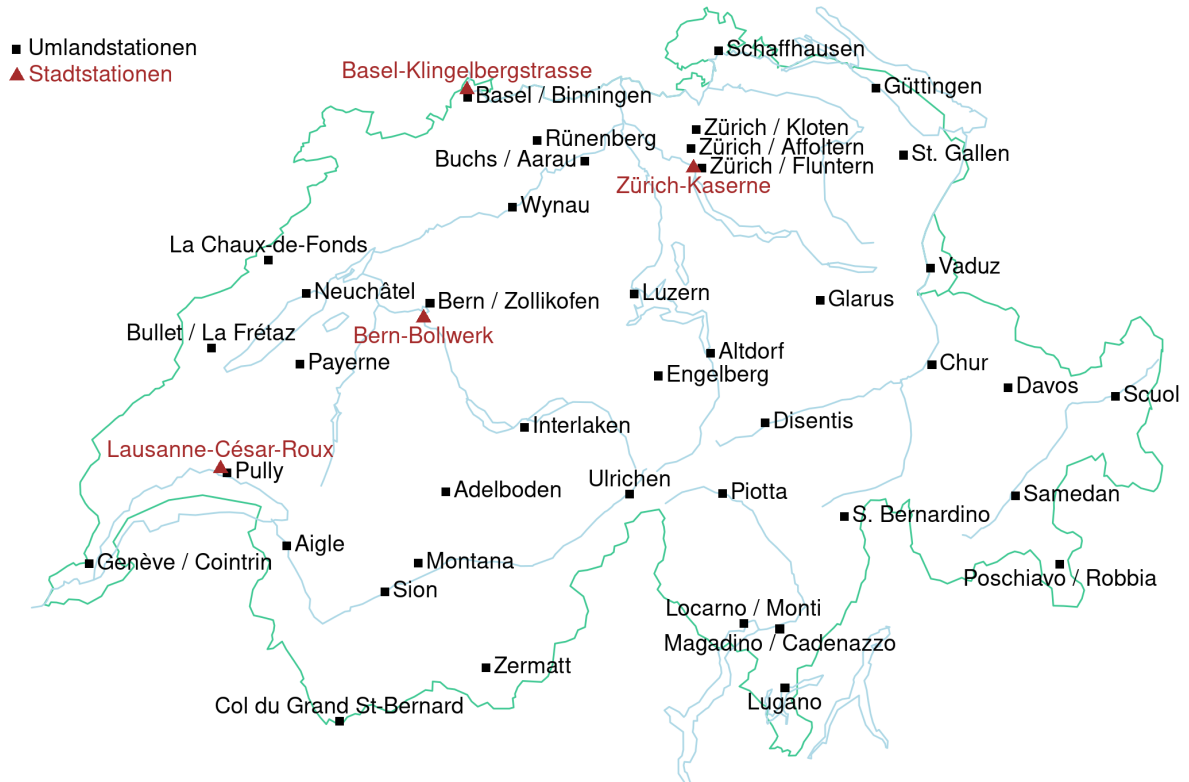


Abbildung 2: Genutzte Umland- und Stadtstationen

Die Umlandstationen aus Abbildung 2 werden von der MeteoSchweiz betrieben und entsprechen den Standards der Weltorganisation für Meteorologie (WMO). Sie sind repräsentativ für ein grösseres Gebiet und die Messungen dürfen lokal nicht durch Gebäude oder andere Wärmequellen gestört werden. Deswegen sind sie vorwiegend in ländlichen Gebieten (selten in der Nähe der Agglomeration) gelegen. Um den städtischen Wärmeinseleffekt (siehe Gehrig et al., 2018) zu berücksichtigen, werden für einzelne Städte ebenfalls Referenzjahre bereitgestellt. Diese repräsentieren im Gegensatz zu den Umlandstationen ein kleineres und überbautes Gebiet. Die Auswahl der Städte wurde durch die Verfügbarkeit von ausreichend langen und konsistenten städtischen Messreihen beeinflusst. Der genutzte Zeitraum enthält den Zeitraum vom jeweiligen Beginn der Messungen bis 2020.

¹ <https://www.meteoschweiz.admin.ch/home/mess-und-prognosesysteme/bodenstationen/automatisches-messnetz.html>

Tabelle 1: Übersicht Umland- und Stadtstationen.

Station	Abkürzung	Geographische Koordinaten	Höhe ü.M.	Lage ¹	Gelände-kategorie ²	Ausgewerteter Zeitraum
Adelboden	ABO	46-30 / 07-34	1'320	E	3	1984-2010
Aigle	AIG	46-20 / 06-55	381	F	2a	1981-2010
Altdorf	ALT	46-52 / 08-38	449	F	3	1981-2010
Basel-Binningen	BAS	47-33 / 07-35	316	A	3	1981-2010
Bern-Zollikofen	BER	46-56 / 07-25	565	F	4	1981-2010
Buchs-Aarau	BUS	47-23 / 08-05	387	F	3	1985-2010
Chur	CHU	46-52 / 09-32	555	F	3	1981-2010
Davos	DAV	46-49 / 09-51	1'590	AE	2a	1981-2010
Disentis	DIS	46-42 / 08-51	1'190	S	3	1981-2010
Engelberg	ENG	46-49 / 08-25	1'035	S	3	1983-2010
Genève-Cointrin	GVE	46-15 / 06-08	420	F	2a	1981-2010
Glarus	GLA	47-02 / 09-04	515	T	2a	1981-2010
Grand-St-Bernard	GSB	45-52 / 07-10	2'472	P	2a	1982-2010
Güttingen	GUT	47-36 / 09-17	440	F	2a	1981-2010
Interlaken	INT	46-40 / 07-52	580	F	2a	1981-2010
La-Chaux-de-Fonds	CDF	47-05 / 06-48	1'019	F	2a	1981-2010
La-Frétaz	FRE	46-50 / 06-35	1'202	SE	2a	1981-2010
Locarno-Monti	OTL	46-10 / 08-47	366	S*	4	1981-2010
Lugano	LUG	46-00 / 08-58	273	U*	4	1981-2010
Luzern	LUZ	47-02 / 08-18	456	F*	4	1981-2010
Magadino	MAG	46-10 / 08-53	197	F	2a	1981-2010
Montana	MVE	46-19 / 07-29	1'508	S	4	1981-2010
Neuchâtel	NEU	47-00 / 06-57	485	A*	4	1981-2010
Payerne	PAY	46-49 / 06-57	490	F	2a	1981-2010
Piotta	PIO	46-31 / 08-41	1'007	F	2a	1981-2010
Pully	PUY	46-31 / 06-40	461	S*	4	1981-2010
Robbia	ROB	46-21 / 10-04	1'078	T	2a	1981-2010
Rünenberg	RUE	47-26 / 07-53	610	F	2a	1984-2010
San Bernardino	SBE	46-28 / 09-11	1'639	M	3	1982-2010
St. Gallen	STG	47-26 / 09-24	779	NW	3	1982-2010
Samedan	SAM	46-32 / 09-53	1'705	F	2a	1981-2010
Schaffhausen	SHA	47-41 / 08-37	437	E*	4	1982-2010
Scuol	SCU	46-48 / 10-17	1'298	S	2a	1981-2010
Sion	SIO	46-13 / 07-20	482	F	2a	1981-2010
Ulrichen	ULR	46-30 / 08-19	1'345	F	2a	1981-2010
Vaduz	VAD	47-08 / 09-31	460	F	2a	1981-2010
Wynau	WYN	47-15 / 07-47	422	F	2a	1981-2010
Zermatt	ZER	46-02 / 07-45	1'638	W	3	1982-2010
Zürich-Affoltern	REH	47-26 / 08-31	444	F		1981-2010
Zürich-Kloten	KLO	47-29 / 08-32	425	F	2a	1981-2010
Zürich-Fluntern	SMA	47-23 / 08-34	556	S*	4	1981-2010
Zürich-Kaserne	NABZUE	47-23 / 08-32	409	I		1998-2020
Bern-Bollwerk	NABBER	46-57 / 07-26	536	I		1999-2020
Basel-Klingelbergstrasse	BKLI	47-34 / 07-34	285	I		2003-2020
Lausanne-César-Roux	NABLAU	46-31 / 06-38	538	I		1991-2020

¹Lage:

A = Anhöhe
M = Talabschluss
S = Südhanglage
W = Westhanglage

E = Osthanglage
N = Nordhanglage
T = geneigtes Tal

* städtische Überbauung / Agglomeration

F = Ebene, flaches Tal
P = Passlage
U = Seeufer
I = Innenstadt

²Geländekategorie: Gemäss SIA 261 Einwirkungen auf Tragwerke, Kapitel 6.2, Tabelle 4. Die Zuteilung lässt viel Interpretationsspielraum und ist subjektiv geprägt. Als Hindernisse wurden nicht nur Häuser, sondern auch Bäume und Hecken in die Beurteilung miteinbezogen. MeteoSchweiz lehnt jede Verantwortung ab für Höhenkorrekturen, die aufgrund der angegebenen Geländekategorien für Windgeschwindigkeiten bestimmt werden.

3.2 Zeiträume

Zukünftige Referenzjahre repräsentieren das erwartete Klima in einem Zeitraum von 30 Jahren in naher Zukunft oder gegen Mitte des Jahrhunderts:

- **Nahe Zukunft (2035):** Wenn es im Text *nahe Zukunft* oder *2035* heisst, bezieht sich dies auf Ergebnisse für den Zeitraum von 2020–2049.
- **Mitte des Jahrhunderts (2060):** Wenn es im Text *Mitte des Jahrhunderts* oder *2060* heisst, bezieht sich dies auf Ergebnisse für den Zeitraum von 2045–2074.

3.3 Emissionsszenarien

Die Auswirkungen der verschiedenen Emissionsszenarien auf das Klima in der Schweiz unterscheiden sich kaum in naher Zukunft, so dass sich auch die Referenzjahre nicht eindeutig unterscheiden würden. Aus diesem Grund wird für den Zeitraum 2035 nur ein Referenzjahr bereitgestellt. Im Zeitraum 2060 sind klare Unterschiede zwischen den Szenarien auszumachen. Um den möglichen Raum der zukünftigen Klimaentwicklung aufzuspannen, werden die Szenarien konsequenter Klimaschutz (RCP 2.6) und kein Klimaschutz (RCP8.5) bereitgestellt, analog zu den Produkten aus CH2018.

3.4 Referenzjahre: typisches Jahr und warmer Sommer

Der Datensatz pro Station enthält für jeden Zeitraum und jedes Emissionsszenario ein Referenzjahr für ein typisches Jahr in der Zukunft, das sogenannte *Design Reference Year*, kurz *DRY*. Ausserdem werden Datenfiles für einen warmen Sommer bereitgestellt. Dieser wurde so definiert, dass ein 1 in 10 Jahre Ereignis repräsentiert wird bezüglich der Sommertemperatur (Monate Juni-August) und bezüglich der Dauer von Hitzeperioden über das ganze Sommerhalbjahr. Dieses wird nachfolgend «1 in 10» *warmer Sommer* genannt. Es ist zu erwarten, dass in einem Zeitraum von 30 Jahren die im «1 in 10» warmen Sommer gegebenen Bedingungen (bezüglich der Sommertemperatur und der Dauer von Hitzeperioden) im Schnitt dreimal übertroffen werden.

4 Benennung der Datenfiles

Die Filenamen sind entsprechend nachfolgendem Schema aufgebaut:

[stat]_[per]_[rcp]_[type].csv

Dabei steht an der Stelle von [stat] die Stationsabkürzung gemäss Tabelle 1, an der Stelle von [per] das mittlere Jahr der 30-Jahres-Periode für welche das Referenzjahr bestimmt wurde («2035» für 2020-2049 und «2060» für 2045-2074), an der Stelle von [rcp] das Emissionsszenario «RCP26» oder «RCP85», und an der Stelle von [type] die Art des Referenzjahres. Dabei kennzeichnet «DRY» ein typisches Referenzjahr und «1in10-warmsummer» den «1 in 10» warmen Sommer.

5 Strukturierung der Datenfiles

Die Datenfiles enthalten jeweils eine Spalte für das Jahr, den Monat, den Tag und die Stunde der Datumsangabe (time.yy, time.mm, time.dd, time.hh). Eine Übersicht über die Parameter der Datenlieferung wird in Tabelle 2 gegeben.

Tabelle 2: Variablen im Datenfile

Parametername	Bedeutung	Einheit	Zeitliche Auflösung
tre200h0	Lufttemperatur 2m über Boden	°C	Stundenmittel
ure200h0	Relative Luftfeuchte	%	Stundenmittel
fkI010h0	Windgeschwindigkeit, Mittel	m s ⁻¹	Stundenmittel
fkI010h1	Windgeschwindigkeit, Böenspitze	m s ⁻¹	Sekundenböe, Stundenmaximum
dkI010h0	Windrichtung	Grad	Stundenmittel
skycover	Bewölkung	%	Momentanwerte, linear interpoliert
gls	Globalstrahlung horizontal	W m ⁻²	Stundenmittel
str.diffus	Diffuse Strahlung horizontal	W m ⁻²	Stundenmittel
str.direkt	Direktstrahlung normal (Beam)	W m ⁻²	Stundenmittel

Die Datenfiles enthalten 365 x 24 Einträge pro Parameter für jede Stunde und jeden Tag eines Jahres. Die erste Zeile ist eine Kopfzeile und enthält die Bezeichnungen für die Variablen gemäss Tabelle 2. Ein Ausschnitt aus einem Beispielsfile wird in Abbildung 3 gezeigt.

time.yy	time.mm	time.dd	time.hh	tre200h0	ure200h0	fkI010h0	fkI010h1	dkI010h0	skycover	gls	str.diffus	str.direkt
2060	1	1	0	3.3	92.8	2.5	6	195	93	0	0	0
2060	1	1	1	3.7	91.8	3.2	7.6	225	96	0	0	0
2060	1	1	2	4	90.6	4	9.1	230	98	0	0	0
2060	1	1	3	4.2	89.3	4.7	10.4	233	99	0	0	0
2060	1	1	4	4.4	87.4	5.4	11.8	239	100	0	0	0
2060	1	1	5	4.4	86.1	6	12.9	242	100	0	0	0
2060	1	1	6	4.3	84	6.8	14.3	245	100	0	0	0
2060	1	1	7	4.2	85.4	6.8	14.2	253	100	4	0	0
2060	1	1	8	4	87.7	7	15.1	255	100	21	21	0
2060	1	1	9	4.2	85.7	5.3	10.7	261	100	42	42	0
2060	1	1	10	4.1	83.8	5.4	11.9	255	100	14	14	0
2060	1	1	11	3.1	93.7	4	10.5	279	100	21	21	0
2060	1	1	12	3.2	88.8	4.1	9.6	283	100	86	86	0
2060	1	1	13	3.2	85.6	4.2	8.9	278	88	73	73	0
2060	1	1	14	2.8	83.8	4.3	9.8	264	75	52	52	0
2060	1	1	15	2	91.6	3.8	10.2	279	62	14	14	0
2060	1	1	16	1.4	92.2	3.4	11.4	265	50	2	0	0
2060	1	1	17	1.1	76.8	7.1	13.5	275	38	0	0	0
2060	1	1	18	1	64.1	5.8	13	273	25	0	0	0
2060	1	1	19	0.6	64.3	8	16.7	270	31	0	0	0
2060	1	1	20	0.6	64	7.3	15.3	260	38	0	0	0
2060	1	1	21	0.3	68.3	7.2	13.1	258	44	0	0	0
2060	1	1	22	0	68.6	6.7	14.6	256	50	0	0	0
2060	1	1	23	0	64.4	6	13	249	56	0	0	0
2060	1	2	0	-0.1	65.7	6.2	12.8	240	62	0	0	0
2060	1	2	1	0.1	64	5.9	14.1	238	69	0	0	0
2060	1	2	2	0.4	60.2	5.3	11.4	229	75	0	0	0

Abbildung 3: Ausschnitt aus einem Beispielsfile der Datenlieferung

6 Methoden

6.1 Verwendung von Messdaten und berechnete Daten

Für die Erstellung der Referenzjahre wurden stündliche Daten aus der Datenbank der MeteoSchweiz ausgezogen. Details zum Umgang mit Messwerten und der Bestimmung der stündlichen Werte können dem Schlussbericht des Projekts (MeteoSchweiz, SIA und HSLU, 2022) entnommen werden.

Zur Berechnung der diffusen Strahlung horizontal und der Direktstrahlung normal wurden die gleichen Berechnungen vorgenommen wie für die DRY im Merkblatt SIA 2028:2010.

6.2 Erstellung der Referenzjahre

Grundlage zur Erstellung der Referenzjahre bilden Beobachtungsdaten und die lokalisierten, fehlerkorrigierten Datensätze aus den Klimaszenarien CH2018 an unterschiedlichen Stationen. Die Beobachtungsdaten werden mittels eines Klimaänderungsfaktors in die Zukunft transferiert. Das Referenzjahr wird anschliessend so aus diesen skalierten Beobachtungen gewählt, dass die zukünftigen Bedingungen aus CH2018 möglichst gut repräsentiert werden. Für die Windparameter (mittlere Geschwindigkeit, Richtung und Böenspitzen) und die Bewölkung wurde kein Klimaänderungssignal angenommen. Details zum Erstellen der skalierten Beobachtungen können dem Schlussbericht des Projekts (MeteoSchweiz, SIA und HSLU, 2022) entnommen werden.

Umlandstationen:

Die Auswahl des DRY erfolgt basierend auf SN EN ISO 15927-4:2005 (bzw. Merkblatt SIA 2028:2010) unter Anwendung der Finkelstein-Schafer Statistik. Das Vorgehen erstellt einen einjährigen Datensatz in stündlicher Auflösung der verschiedenen Parameter. Dazu werden einzelne Monate so ausgewählt, dass sie die zukünftigen langjährigen Bedingungen der Parameter Lufttemperatur, relative Luftfeuchte und Globalstrahlung am besten repräsentieren. Zusätzlich zu den drei Hauptparametern aus SN EN ISO 15927-4:2005 wird die Dauer von Hitzeperioden berücksichtigt.

Für den «1 in 10» warmen Sommer werden ganze Sommer ausgewählt. Die Auswahlkriterien sind die Tagesmitteltemperaturen der Sommermonate Juni bis August und die durchschnittliche Länge von Hitzeperioden (Tagesmaximaltemperatur $\geq 30^{\circ}\text{C}$). Der «1 in 10» warme Sommer wird zusammengesetzt aus dem gewählten Jahr gemäss obigen Kriterien für das Sommerhalbjahr und dem DRY für das Winterhalbjahr. Dabei dauert das Sommerhalbjahr vom 16.4. – 15.10.

Stadtstationen:

Um Referenzjahre für die Zukunft für die Stadt zu generieren, wurden die Szenarien von den Umlandstationen mittels einem statistischen Verfahren in die Stadt transferiert. Strahlung (Globalstrahlung, Direktstrahlung normal und diffuse Strahlung horizontal), Wind (Windgeschwindigkeit, Windrichtung und Böenspitzen) und Bewölkung (wo vorhanden) wurden von den Umlandstationen übernommen. Das Vorgehen zur Auswahl der Referenzjahre an den Stadtstationen ist analog zu den Umlandstationen für das DRY und den «1 in 10» warmen Sommer. Es wurde jedoch die Anzahl Tropennächte als zusätzliches Auswahlkriterium hinzugefügt. Weitere Details können dem Schlussbericht des Projekts (MeteoSchweiz, SIA und HSLU) entnommen werden.

Referenzen

CH2018 (2018). CH2018 – Climate Scenarios for Switzerland, Technical Report, National Centre for Climate Services, Zurich, 271 S.

NCCS (Hrsg.) 2018. CH2018 - Klimaszenarien für die Schweiz. National Centre for Climate Services, Zürich. 24 S. ISBN-Nummer 978-3-9525031-0-2.

Gehrig, R., König, N. & Scherrer, S. (2018). Städtische Wärmeinseln in der Schweiz – Klimatologische Studie mit Messdaten in fünf Städten, *Fachbericht MeteoSchweiz*, **273**, 61 S.

Perez, R. R., Ineichen, P., Maxwell, E. L., Seals, R. D. & Zelenka, A. (1991). Dynamic models for hourly global-to-direct irradiance conversion. *1991 Solar World Congress*, Proc. 1991 Biennial Congress ISES, Arden/Burley/Coleman Eds., Vol.1/Part II.

Perez, R. R., Ineichen, P., Maxwell, E. L., Seals, R. D. & Zelenka, A. (1992). Dynamic global-to-direct conversion models. *ASHRAE Transactions*, Research Series.

MeteoSchweiz, SIA und HSLU (2022). Klimaszenarien fürs zukünftige Innenraumklima (SIA 2028) - Schlussbericht der Projekte "Klimaangepasstes Bauen - Grundlagen für die Zukunft" und A.15 "Aktuelle Klimadaten für Bauplanende", *Fachbericht MeteoSchweiz*, 279, 124 S.

Merkblatt SIA 2028. (2010). Merkblatt SIA 2028 - Klimadaten für Bauphysik, Energie- und Gebäudetechnik. Zürich, Schweiz: Schweizer Ingenieur- und Architektenverein (SIA).

SN EN ISO 15927-4 (2005). Wärme- und feuchtetechnisches Verhalten von Gebäuden – Berechnung und Darstellung von Klimadaten – Teil 4: Stündliche Daten zur Abschätzung des Jahresenergiebedarfs für Heiz- und Kühlsysteme (ISO 15927-4:2005), Zürich, Schweiz: Schweizerischer Ingenieur- und Architektenverein (SIA), 9 S.

Anhang

Übersicht über die ins Referenzjahr gewählten Jahre und Modelle

In folgenden Tabellen ist für jede Station und jeden Monat, sowie pro Zeitperiode und Emissionsszenario dasjenige Jahr und Modell aufgeführt, welches aus der Periode gemäss Tabelle 1 ins Referenzjahr gewählt wurde.

Nummer	Modell RCP2.6
1	DMI.HIRHAM_ECEARTH_RCP26_EUR11
2	KNMI.RACMO_HADGEM_RCP26_EUR44
3	SMHI.RCA_ECEARTH_RCP26_EUR11
4	SMHI.RCA_ECEARTH_RCP26_EUR44
5	SMHI.RCA_HADGEM_RCP26_EUR44
6	SMHI.RCA_MIROC_RCP26_EUR44
7	SMHI.RCA_MPIESM_RCP26_EUR44
8	SMHI.RCA_NORESM_RCP26_EUR44

Nummer	Modell RCP8.5
1	CLMCOM.CCLM4_HADGEM_RCP85_EUR44
2	CLMCOM.CCLM5_ECEARTH_RCP85_EUR44
3	CLMCOM.CCLM5_HADGEM_RCP85_EUR44
4	CLMCOM.CCLM5_MIROC_RCP85_EUR44
5	CLMCOM.CCLM5_MPIESM_RCP85_EUR44
6	DMI.HIRHAM_ECEARTH_RCP85_EUR11
7	DMI.HIRHAM_ECEARTH_RCP85_EUR44
8	KNMI.RACMO_ECEARTH_RCP85_EUR44
9	KNMI.RACMO_HADGEM_RCP85_EUR44
10	SMHI.RCA_CCCMA_RCP85_EUR44
11	SMHI.RCA_CSIRO_RCP85_EUR44
12	SMHI.RCA_ECEARTH_RCP85_EUR11
13	SMHI.RCA_ECEARTH_RCP85_EUR44
14	SMHI.RCA_GFDL_RCP85_EUR44
15	SMHI.RCA_HADGEM_RCP85_EUR11
16	SMHI.RCA_HADGEM_RCP85_EUR44
17	SMHI.RCA_IPSL_RCP85_EUR11
18	SMHI.RCA_IPSL_RCP85_EUR44
19	SMHI.RCA_MIROC_RCP85_EUR44
20	SMHI.RCA_MPIESM_RCP85_EUR11
21	SMHI.RCA_MPIESM_RCP85_EUR44
22	SMHI.RCA_NORESM_RCP85_EUR44

Tabelle 3: DRY 2035 RCP8.5

Station	Jan	Feb	Mar	Apr	Mai	Jun	Jul	Aug	Sep	Okt	Nov	Dez
ABO	2000 (15)	2010 (13)	2008 (19)	1996 (14)	1996 (6)	1993 (9)	2004 (19)	1998 (3)	1988 (16)	1991 (17)	1988 (10)	1995 (7)
AIG	2003 (17)	1996 (10)	1999 (8)	1996 (7)	2006 (1)	2010 (7)	1989 (1)	1998 (5)	1992 (18)	1996 (9)	1990 (15)	1982 (7)
ALT	2003 (2)	2009 (3)	1990 (8)	1999 (4)	1981 (13)	1982 (9)	1998 (8)	1986 (17)	1993 (10)	2010 (6)	2007 (17)	1982 (20)
BAS	2000 (20)	2010 (22)	2006 (19)	2000 (14)	1993 (14)	1994 (12)	2005 (11)	1989 (9)	1989 (8)	1990 (14)	2008 (2)	1981 (3)
BER	2000 (1)	2010 (13)	2008 (8)	1996 (7)	1981 (4)	1996 (5)	1988 (3)	1987 (10)	1983 (16)	1984 (15)	2010 (12)	1981 (14)
BUS	2004 (20)	2010 (1)	2008 (8)	1995 (11)	1995 (12)	1993 (8)	1992 (11)	1989 (10)	1989 (1)	1999 (10)	1990 (18)	2004 (8)
CHU	2003 (4)	2004 (3)	1999 (8)	1999 (6)	1985 (12)	1992 (13)	1998 (17)	1998 (2)	1989 (11)	1988 (14)	1993 (11)	1984 (20)
DAV	2005 (10)	2004 (14)	1996 (10)	2004 (8)	2006 (2)	1999 (13)	1998 (11)	1987 (16)	2000 (4)	2002 (7)	2001 (1)	1999 (17)
DIS	1982 (20)	2004 (2)	2010 (5)	2006 (5)	2006 (2)	1991 (16)	1998 (14)	1989 (10)	1992 (18)	1991 (10)	1997 (14)	1995 (5)
ENG	2003 (4)	1994 (17)	1983 (7)	2005 (3)	1985 (12)	1993 (11)	1998 (8)	1986 (3)	1983 (12)	1994 (4)	2008 (13)	1999 (8)
GVE	2004 (7)	1988 (3)	2004 (22)	2006 (8)	2006 (1)	2007 (17)	1992 (11)	1986 (3)	1983 (2)	2002 (13)	1996 (7)	2009 (14)
GLA	2003 (2)	1994 (8)	1986 (4)	1998 (6)	1981 (10)	1992 (10)	1988 (15)	1998 (19)	1992 (16)	2008 (18)	2010 (21)	2008 (18)
GSB	2004 (2)	1994 (9)	2000 (18)	2004 (19)	1985 (10)	1994 (3)	2004 (21)	1993 (20)	1988 (19)	1991 (17)	2004 (11)	1993 (7)
GUT	1992 (14)	1988 (7)	2008 (8)	1998 (20)	2002 (8)	2009 (16)	1992 (11)	1986 (1)	1988 (13)	1981 (7)	1995 (1)	1986 (2)
INT	1986 (21)	2010 (1)	2008 (7)	1992 (12)	1985 (10)	1993 (9)	1982 (6)	1993 (16)	1983 (7)	2010 (11)	1990 (2)	1995 (15)
CDF	2003 (6)	2010 (16)	1999 (8)	2004 (1)	1986 (14)	1993 (13)	1998 (8)	1989 (3)	1983 (17)	1991 (17)	1987 (15)	1998 (3)
FRE	2000 (11)	2001 (7)	2000 (8)	1996 (5)	1985 (19)	2009 (16)	1989 (9)	1987 (10)	1983 (7)	2002 (22)	2008 (6)	1999 (4)
OTL	1986 (15)	2004 (22)	2004 (10)	1999 (22)	1997 (6)	1981 (4)	1998 (18)	1998 (5)	2002 (10)	1981 (10)	1990 (19)	1997 (5)
LUG	2004 (11)	2004 (2)	2004 (12)	2004 (20)	1985 (13)	1981 (19)	1998 (11)	1998 (21)	2002 (8)	1981 (16)	1997 (8)	1992 (9)
LUZ	2003 (2)	1992 (4)	1999 (5)	1996 (7)	1985 (4)	1982 (13)	1998 (16)	1986 (3)	1986 (15)	1981 (8)	2008 (11)	1997 (20)
MAG	2004 (2)	1992 (6)	2004 (13)	1992 (18)	1998 (6)	1998 (13)	1982 (2)	1995 (12)	1988 (19)	1981 (10)	1984 (7)	2009 (10)
MVE	1998 (21)	1994 (6)	2004 (16)	2004 (6)	2006 (6)	1999 (13)	2009 (17)	2004 (11)	1992 (10)	1991 (17)	1987 (18)	1995 (20)
NEU	2003 (22)	2000 (7)	1983 (8)	1995 (3)	2003 (14)	1993 (20)	2001 (9)	1988 (10)	1983 (1)	2002 (13)	1987 (5)	1981 (1)
PAY	2004 (7)	1994 (5)	2006 (22)	2006 (21)	1985 (22)	1983 (9)	2004 (4)	1993 (20)	1988 (15)	1994 (16)	1990 (7)	2009 (2)
PIO	1986 (15)	1999 (2)	2004 (9)	1999 (17)	2006 (6)	1993 (14)	1998 (8)	1989 (20)	2002 (16)	1981 (10)	2010 (15)	1993 (20)
PUY	2003 (2)	1994 (7)	2008 (4)	2000 (5)	1986 (14)	1994 (7)	2001 (10)	1989 (20)	1988 (8)	1991 (3)	2010 (2)	1986 (4)
ROB	2004 (10)	2000 (1)	2010 (19)	2006 (6)	1997 (9)	1994 (9)	1982 (1)	1993 (4)	2010 (17)	1996 (5)	1986 (21)	1983 (5)
RUE	1995 (3)	2010 (13)	1986 (19)	2000 (14)	2003 (14)	1993 (22)	1998 (8)	1989 (3)	1989 (4)	1999 (4)	2008 (11)	2009 (20)
SBE	1999 (21)	1985 (8)	2010 (3)	1992 (22)	2006 (7)	1999 (4)	2004 (16)	1998 (5)	2004 (2)	2010 (1)	1989 (9)	2003 (6)
STG	1986 (3)	2009 (9)	1986 (12)	2005 (7)	1985 (13)	2009 (10)	1998 (8)	1989 (16)	1988 (10)	1999 (4)	2008 (12)	1982 (5)
SAM	2004 (20)	2010 (9)	2004 (4)	2004 (14)	1985 (11)	2009 (17)	2004 (12)	1988 (22)	2010 (16)	1994 (11)	1995 (22)	2008 (5)
SHA	2004 (21)	2010 (14)	2008 (20)	1987 (8)	1985 (9)	1993 (22)	2004 (1)	2004 (14)	1989 (7)	1999 (7)	2010 (7)	2005 (9)
SCU	2005 (1)	2004 (8)	2010 (16)	1999 (9)	1996 (8)	1993 (12)	2005 (4)	1988 (18)	1989 (3)	2003 (18)	1996 (5)	1988 (6)
SIO	2003 (21)	2010 (1)	2008 (8)	1998 (3)	2006 (21)	1998 (5)	1992 (13)	1988 (8)	1983 (9)	1997 (11)	1990 (18)	2009 (18)
ULR	2004 (5)	1992 (2)	2010 (20)	1992 (20)	2006 (3)	1994 (20)	2004 (14)	1986 (10)	2002 (16)	2002 (4)	1997 (2)	1997 (20)
VAD	2003 (12)	1994 (8)	1985 (9)	1999 (20)	2006 (3)	1983 (8)	2001 (15)	2004 (22)	1992 (2)	2008 (15)	2010 (7)	1981 (4)
WYN	2000 (6)	1984 (9)	1983 (7)	1993 (14)	2006 (22)	1993 (13)	1992 (11)	1989 (11)	1983 (6)	2002 (15)	1987 (21)	1986 (7)
ZER	2005 (16)	2001 (7)	2000 (14)	2006 (14)	2006 (2)	1994 (20)	1998 (5)	1986 (22)	2010 (13)	1994 (9)	2001 (3)	1993 (5)
REH	1986 (6)	2010 (3)	2008 (14)	1995 (3)	1981 (4)	1993 (13)	2008 (4)	1986 (1)	1988 (11)	1999 (10)	2010 (7)	1981 (1)
KLO	2003 (21)	2010 (3)	2008 (14)	1998 (22)	1981 (22)	1993 (2)	1992 (17)	1989 (16)	1988 (18)	1999 (11)	2008 (11)	2005 (1)
SMA	1995 (22)	1994 (5)	1986 (19)	1998 (22)	1985 (3)	1993 (12)	1992 (11)	1986 (10)	1988 (10)	1994 (6)	2008 (16)	1997 (20)
NABZUE	2003 (16)	2015 (19)	2004 (16)	2000 (5)	2014 (16)	2004 (3)	2017 (13)	2001 (19)	2013 (5)	2008 (2)	2010 (12)	2008 (1)
NABBER	2015 (2)	2010 (11)	2006 (19)	2006 (9)	2003 (18)	2011 (10)	2005 (9)	2017 (2)	2004 (7)	2015 (16)	2010 (1)	2009 (3)
BKLI	2015 (6)	2010 (20)	2008 (3)	2012 (4)	2003 (18)	2009 (1)	2004 (4)	2011 (21)	2004 (12)	2012 (10)	2008 (10)	2017 (14)
NABLAU	2000 (11)	2010 (15)	2008 (15)	2006 (6)	2003 (7)	2010 (10)	2017 (18)	1994 (14)	2013 (5)	1991 (1)	2016 (8)	2007 (16)

Tabelle 4: DRY 2060 RCP2.6

Station	Jan	Feb	Mar	Apr	Mai	Jun	Jul	Aug	Sep	Okt	Nov	Dez
ABO	2000 (2)	2010 (7)	2010 (3)	1996 (1)	1996 (2)	1999 (5)	2004 (5)	1998 (2)	1988 (2)	1991 (5)	1988 (2)	1995 (4)
AIG	2003 (3)	2009 (4)	2004 (3)	1998 (5)	2006 (7)	2010 (3)	1998 (4)	1987 (5)	2008 (5)	1991 (5)	2008 (8)	1982 (3)
ALT	1995 (8)	2009 (3)	1990 (1)	1999 (3)	1985 (3)	1982 (2)	1998 (5)	1986 (1)	1992 (7)	2008 (3)	2007 (2)	1982 (1)
BAS	2004 (3)	2009 (4)	2008 (3)	1985 (4)	1981 (2)	1999 (1)	1999 (8)	1989 (1)	1989 (7)	1999 (6)	2008 (6)	1981 (8)
BER	1986 (5)	2010 (4)	2008 (6)	1996 (1)	2003 (1)	1994 (3)	2001 (6)	1987 (2)	1983 (5)	1984 (1)	2010 (8)	1981 (6)
BUS	2004 (1)	2010 (3)	2008 (7)	1995 (7)	1995 (3)	1998 (3)	2004 (1)	1994 (4)	1988 (7)	1994 (6)	1988 (2)	2004 (3)
CHU	2003 (4)	1982 (7)	1999 (1)	1999 (6)	1985 (4)	2009 (8)	2007 (7)	1986 (6)	1989 (6)	2008 (7)	1993 (5)	1984 (8)
DAV	2005 (2)	2010 (7)	2010 (5)	1998 (3)	1985 (7)	2009 (8)	2009 (7)	1987 (5)	2000 (8)	2002 (8)	2008 (3)	1995 (3)
DIS	1982 (4)	1992 (4)	2010 (2)	1995 (7)	2006 (6)	1991 (5)	1998 (7)	1998 (8)	1992 (2)	2008 (1)	1987 (7)	1983 (7)
ENG	2000 (6)	1994 (1)	1983 (1)	2005 (6)	1985 (4)	2009 (5)	1998 (7)	2000 (8)	1983 (6)	1994 (8)	2008 (1)	2009 (7)
GVE	2004 (3)	1992 (7)	2004 (3)	1981 (7)	1996 (2)	1999 (3)	2009 (3)	1986 (6)	1983 (6)	1997 (6)	2010 (6)	2009 (6)
GLA	2003 (7)	1994 (1)	1986 (2)	1999 (7)	1995 (6)	1982 (7)	2001 (7)	2004 (1)	1992 (1)	1997 (5)	2010 (1)	1993 (1)
GSB	2004 (5)	1994 (7)	2004 (3)	2004 (3)	2006 (3)	1994 (3)	2004 (8)	1993 (2)	1988 (2)	1999 (7)	2004 (7)	1993 (3)
GUT	1992 (6)	2010 (7)	2008 (3)	1998 (5)	2002 (1)	2009 (4)	1992 (7)	1986 (6)	1988 (4)	2007 (7)	1987 (1)	1989 (8)
INT	1986 (4)	2010 (3)	2008 (1)	1999 (2)	1985 (2)	1993 (7)	1988 (6)	2004 (7)	1998 (1)	2010 (4)	2007 (2)	1995 (8)
CDF	2003 (3)	2001 (1)	1999 (7)	2004 (7)	2007 (1)	1981 (6)	2009 (6)	1989 (6)	1983 (5)	2008 (8)	2008 (8)	1998 (8)
FRE	2000 (7)	2001 (1)	2000 (5)	2005 (2)	1985 (8)	2009 (4)	2001 (6)	1989 (6)	1989 (5)	2008 (1)	2008 (3)	1992 (1)
OTL	1986 (6)	2004 (6)	2004 (3)	1999 (8)	2006 (1)	1981 (2)	1983 (8)	1998 (7)	2002 (5)	1981 (5)	1990 (5)	1997 (1)
LUG	1998 (3)	2004 (7)	2004 (4)	2004 (2)	1995 (3)	1981 (3)	2004 (2)	1998 (7)	2002 (5)	1981 (5)	1997 (7)	1992 (8)
LUZ	2003 (7)	1983 (6)	1999 (1)	1981 (1)	1985 (2)	1981 (6)	2001 (2)	1986 (2)	1988 (6)	1981 (7)	2008 (5)	1997 (1)
MAG	2004 (6)	2004 (1)	2004 (3)	1992 (5)	1998 (8)	1991 (4)	1996 (5)	1995 (7)	2002 (5)	1981 (5)	1984 (8)	2009 (7)
MVE	1982 (1)	2010 (6)	2008 (5)	2004 (3)	2007 (1)	1993 (7)	2009 (7)	2004 (7)	1992 (5)	1991 (5)	1987 (7)	1986 (4)
NEU	2003 (5)	2010 (4)	2004 (3)	1993 (1)	2003 (1)	2010 (4)	2001 (5)	1986 (6)	1983 (5)	2002 (4)	2010 (8)	2009 (8)
PAY	2004 (3)	2010 (3)	2006 (2)	2006 (5)	1985 (5)	1983 (3)	2001 (6)	1989 (2)	1988 (7)	1994 (1)	1996 (3)	2009 (8)
PIO	1986 (5)	1999 (1)	2004 (3)	1992 (3)	1997 (2)	1991 (6)	1998 (7)	1993 (4)	2002 (2)	1981 (2)	2010 (2)	1999 (5)
PUY	1995 (2)	2010 (4)	2004 (3)	2006 (7)	2003 (1)	2010 (1)	1991 (7)	1987 (5)	1988 (5)	1991 (5)	2008 (7)	1986 (6)
ROB	1987 (5)	1999 (2)	2010 (6)	1981 (1)	1997 (8)	1994 (1)	1982 (2)	1993 (2)	2010 (5)	1996 (1)	1987 (4)	1993 (8)
RUE	1995 (8)	2010 (4)	2008 (3)	1999 (2)	2003 (1)	2009 (5)	1989 (1)	1989 (1)	1989 (1)	1999 (4)	2008 (7)	2009 (8)
SBE	1999 (7)	1999 (1)	2004 (2)	1992 (2)	2006 (1)	1999 (7)	1982 (7)	1993 (1)	2004 (8)	2010 (6)	1989 (3)	2003 (3)
STG	2001 (1)	2010 (2)	1982 (5)	2005 (5)	1985 (2)	2009 (1)	2001 (5)	1986 (5)	1988 (5)	1999 (1)	2008 (3)	1982 (1)
SAM	2004 (1)	2009 (3)	2010 (2)	1994 (3)	2006 (1)	1989 (4)	2008 (4)	1998 (8)	2010 (6)	1991 (4)	1995 (4)	2003 (1)
SHA	2004 (4)	2010 (6)	2008 (7)	2000 (1)	1985 (2)	1993 (8)	2008 (6)	2004 (7)	1983 (5)	1999 (6)	2010 (8)	1986 (6)
SCU	2003 (5)	1992 (4)	1992 (2)	2006 (8)	1989 (3)	1989 (5)	2001 (7)	1988 (7)	2004 (7)	1981 (6)	1990 (4)	1999 (4)
SIO	2003 (4)	2010 (8)	2010 (3)	1998 (6)	1982 (4)	1998 (3)	2009 (3)	1989 (1)	1983 (7)	1997 (7)	1990 (4)	2009 (1)
ULR	2004 (3)	1982 (7)	2010 (1)	1992 (6)	2006 (7)	1991 (5)	1998 (7)	1987 (5)	2002 (6)	2002 (1)	1996 (1)	1996 (4)
VAD	2003 (3)	1994 (1)	1996 (3)	1999 (7)	2004 (3)	1981 (6)	2009 (1)	1986 (2)	1992 (8)	2008 (1)	1990 (6)	1981 (7)
WYN	2000 (5)	2010 (2)	1983 (1)	1995 (6)	2006 (2)	1993 (1)	1988 (7)	1989 (1)	1989 (5)	1994 (8)	1988 (2)	1986 (8)
ZER	1995 (8)	2001 (4)	2010 (2)	2006 (1)	1985 (5)	1991 (5)	2001 (8)	1986 (5)	2010 (4)	1994 (8)	1990 (4)	1986 (4)
REH	1986 (4)	2010 (3)	2008 (3)	1995 (6)	1995 (6)	2009 (5)	1999 (6)	1986 (1)	1988 (1)	1999 (7)	2010 (1)	1987 (1)
KLO	2003 (4)	2010 (3)	2006 (2)	1999 (2)	1985 (7)	1982 (2)	1992 (8)	1986 (7)	1988 (1)	1999 (7)	2010 (8)	1987 (4)
SMA	2003 (5)	1994 (1)	2004 (3)	1999 (7)	1985 (5)	2009 (5)	1998 (1)	2004 (8)	1988 (5)	1999 (6)	2008 (2)	1986 (8)
NABZUE	2003 (2)	2005 (7)	2004 (4)	2000 (1)	2014 (8)	2011 (2)	2007 (1)	2004 (5)	2013 (8)	1999 (2)	2010 (2)	2018 (4)
NABBER	2003 (6)	2010 (7)	2008 (7)	2006 (6)	2014 (3)	2011 (5)	2005 (5)	2017 (8)	2004 (1)	2015 (5)	2010 (2)	2009 (6)
BKLI	2004 (6)	2010 (3)	2008 (5)	2005 (2)	2003 (7)	2009 (3)	2004 (1)	2011 (8)	2004 (6)	2012 (2)	2008 (2)	2017 (6)
NABLAU	1995 (2)	2010 (8)	2004 (4)	1993 (5)	2003 (1)	2010 (6)	1995 (7)	2000 (8)	2013 (8)	2012 (4)	2010 (7)	2012 (1)

Tabelle 5: DRY 2060 RCP8.5

Station	Jan	Feb	Mar	Apr	Mai	Jun	Jul	Aug	Sep	Okt	Nov	Dez
ABO	2003 (9)	2010 (17)	2010 (20)	1996 (6)	2007 (7)	2007 (14)	2003 (4)	1989 (20)	1988 (16)	1991 (16)	1988 (10)	1995 (20)
AIG	2003 (2)	2009 (20)	1999 (5)	2006 (7)	1985 (17)	2010 (5)	1982 (2)	1998 (22)	1988 (11)	1991 (3)	2010 (20)	1982 (7)
ALT	2003 (12)	2009 (3)	1990 (5)	1996 (7)	1985 (8)	1983 (1)	2007 (20)	1998 (5)	1993 (10)	2008 (9)	2007 (16)	1982 (20)
BAS	2000 (16)	2009 (14)	2010 (1)	2000 (5)	1981 (13)	1993 (21)	1999 (14)	1994 (14)	1988 (1)	1990 (7)	2008 (20)	1992 (5)
BER	2003 (22)	2010 (19)	2008 (20)	1996 (20)	1981 (16)	1994 (6)	2001 (7)	1987 (10)	2004 (12)	1984 (8)	2010 (20)	1981 (1)
BUS	2004 (8)	2010 (15)	2008 (3)	1995 (9)	1995 (1)	1993 (1)	2004 (1)	2000 (21)	2004 (19)	1994 (19)	1990 (4)	2004 (14)
CHU	2003 (7)	2004 (11)	1999 (8)	1999 (9)	1995 (3)	1982 (19)	2007 (20)	1998 (8)	1998 (18)	1991 (12)	1993 (17)	1984 (21)
DAV	2005 (10)	2004 (5)	2004 (11)	1998 (7)	1996 (14)	2009 (22)	2001 (21)	1987 (16)	2007 (15)	2002 (19)	2008 (1)	1998 (19)
DIS	2009 (10)	2004 (5)	2010 (9)	2006 (4)	1985 (20)	1991 (12)	2003 (8)	1993 (18)	2010 (15)	1991 (20)	1995 (10)	1995 (3)
ENG	2000 (19)	1994 (11)	2004 (17)	2005 (14)	1985 (19)	2007 (21)	2001 (16)	2000 (22)	1983 (20)	1994 (2)	1996 (3)	2009 (19)
GVE	2004 (11)	1994 (7)	2004 (16)	2006 (1)	1996 (18)	1983 (15)	2005 (6)	1998 (5)	1988 (11)	1997 (20)	1996 (21)	2009 (18)
GLA	2003 (12)	1994 (8)	2004 (8)	1998 (14)	1995 (19)	1994 (2)	1992 (18)	1998 (8)	1992 (16)	2008 (8)	2010 (5)	2008 (11)
GSB	2004 (12)	1994 (1)	1999 (11)	2004 (18)	1985 (11)	1994 (17)	1982 (4)	1987 (12)	1988 (19)	1991 (15)	2004 (20)	1993 (21)
GUT	1992 (19)	1988 (11)	2008 (8)	1998 (10)	2002 (8)	1994 (20)	2004 (1)	1989 (17)	2005 (7)	1986 (6)	1995 (3)	2004 (18)
INT	1986 (7)	2010 (15)	2010 (1)	1996 (5)	1985 (20)	1998 (4)	2004 (3)	1998 (19)	1983 (4)	1991 (15)	2007 (15)	1995 (16)
CDF	1994 (8)	2001 (11)	1999 (8)	1998 (17)	1996 (22)	1993 (16)	1999 (18)	1989 (1)	1983 (15)	1991 (12)	1987 (8)	1998 (10)
FRE	2000 (5)	2001 (11)	2000 (11)	2004 (2)	1985 (10)	2009 (15)	1998 (9)	1987 (1)	1983 (4)	2002 (22)	2008 (20)	1999 (3)
OTL	2006 (10)	2004 (18)	2004 (20)	1992 (19)	1998 (3)	1981 (4)	2005 (7)	1995 (10)	2002 (11)	1981 (19)	1990 (11)	1997 (8)
LUG	1998 (11)	2004 (21)	2004 (10)	2002 (3)	1998 (1)	1998 (12)	1982 (17)	1995 (10)	2004 (14)	1981 (2)	1997 (8)	1997 (7)
LUZ	2003 (2)	1992 (21)	2004 (21)	2005 (20)	1985 (17)	1993 (5)	2001 (9)	1988 (18)	2005 (14)	1981 (17)	1990 (4)	1997 (6)
MAG	2004 (20)	2004 (1)	2004 (2)	1992 (11)	1998 (22)	1998 (12)	1982 (20)	1998 (5)	2004 (20)	1981 (10)	1984 (4)	2009 (18)
MVE	1998 (14)	2010 (22)	2004 (15)	1992 (17)	2006 (9)	1993 (14)	1998 (4)	1986 (18)	2010 (15)	1991 (10)	1988 (19)	1986 (11)
NEU	2004 (22)	2000 (11)	2004 (13)	1987 (21)	1985 (11)	1993 (15)	2001 (3)	1998 (15)	1986 (4)	2002 (22)	1996 (12)	1981 (10)
PAY	2004 (16)	1994 (6)	2004 (9)	2006 (10)	1985 (10)	2010 (8)	2004 (1)	1989 (16)	1988 (17)	1994 (15)	1990 (7)	2009 (2)
PIO	1986 (9)	1999 (14)	2006 (18)	1992 (22)	2003 (5)	1994 (7)	1982 (4)	1989 (20)	2002 (16)	1981 (18)	2010 (11)	1999 (17)
PUY	2003 (16)	1994 (8)	2008 (16)	2006 (14)	2003 (5)	2010 (18)	2005 (9)	2004 (12)	1983 (16)	1991 (10)	2010 (2)	1986 (1)
ROB	1987 (10)	2010 (16)	1999 (5)	1981 (5)	1997 (20)	1994 (4)	2005 (6)	1987 (10)	2010 (12)	2010 (17)	2008 (1)	1982 (6)
RUE	1995 (16)	2010 (13)	2008 (15)	1995 (9)	2003 (5)	1996 (2)	1998 (20)	1989 (3)	1989 (12)	1999 (5)	2008 (11)	1992 (1)
SBE	1999 (22)	1985 (8)	2006 (18)	1992 (11)	2006 (2)	1998 (2)	1982 (21)	1998 (8)	2004 (5)	2010 (16)	1989 (16)	2003 (3)
STG	2003 (21)	2009 (19)	1986 (17)	2005 (7)	1985 (16)	2009 (1)	1998 (17)	1989 (18)	1988 (10)	1999 (5)	2008 (15)	2008 (18)
SAM	1987 (10)	2009 (6)	2004 (4)	1994 (17)	2006 (6)	2009 (4)	2000 (15)	1988 (22)	2010 (10)	1994 (13)	1995 (5)	2008 (4)
SHA	2004 (7)	2010 (19)	2008 (21)	2000 (5)	1985 (9)	2004 (4)	1992 (17)	1998 (15)	2005 (14)	1999 (19)	2010 (7)	2005 (10)
SCU	2000 (10)	2004 (22)	2004 (10)	1999 (11)	1996 (9)	2009 (15)	2009 (13)	1989 (13)	2004 (1)	1990 (7)	1996 (3)	1999 (22)
SIO	2003 (5)	1992 (17)	2010 (12)	1998 (22)	1986 (5)	1993 (5)	1998 (5)	1998 (22)	2005 (14)	1991 (16)	1996 (11)	2009 (11)
ULR	2004 (8)	1982 (21)	2010 (5)	2006 (3)	2002 (11)	2004 (17)	2001 (19)	1986 (13)	2002 (16)	2002 (5)	1996 (14)	2003 (5)
VAD	2003 (16)	1994 (8)	1985 (9)	1999 (22)	1996 (21)	1996 (9)	2001 (20)	1998 (19)	1992 (5)	2008 (4)	1990 (13)	1981 (20)
WYN	2000 (3)	1984 (12)	2010 (10)	1995 (20)	1995 (1)	2004 (15)	2004 (1)	1998 (15)	1989 (10)	2002 (5)	1996 (12)	1986 (22)
ZER	1995 (9)	2001 (20)	2008 (3)	1992 (15)	2006 (2)	1998 (4)	1998 (3)	2004 (22)	2010 (14)	1994 (22)	2001 (1)	1986 (20)
REH	1986 (11)	2010 (1)	2008 (20)	1998 (17)	1985 (3)	2004 (18)	2004 (10)	1994 (22)	2004 (4)	1999 (16)	2010 (7)	2004 (11)
KLO	2003 (3)	2010 (15)	2008 (3)	1998 (9)	1985 (22)	1993 (8)	2008 (16)	1989 (18)	2009 (14)	1990 (14)	2004 (20)	1987 (6)
SMA	2003 (22)	1994 (6)	1986 (13)	1995 (22)	1985 (1)	2004 (1)	2008 (15)	1994 (22)	1988 (10)	1994 (19)	2008 (19)	1986 (2)
NABZUE	2003 (16)	2009 (17)	2004 (12)	2000 (11)	2014 (3)	2011 (1)	2007 (1)	2001 (16)	2009 (21)	1999 (11)	2010 (2)	2008 (12)
NABBER	2004 (6)	2010 (17)	2008 (17)	2006 (9)	2014 (16)	2011 (10)	2005 (3)	2017 (16)	2004 (15)	2015 (13)	2010 (18)	2009 (9)
BKLI	2015 (6)	2010 (15)	2008 (12)	2006 (13)	2003 (5)	2012 (21)	2005 (11)	2009 (21)	2004 (4)	2012 (16)	2008 (17)	2017 (4)
NABLAU	1995 (15)	1994 (3)	2004 (13)	2006 (1)	2003 (5)	2007 (21)	2005 (4)	2011 (19)	1991 (5)	2015 (1)	2010 (19)	2012 (14)

Tabelle 6: «1 in 10» warmer Sommer 2035 RCP8.5

Station	Jan	Feb	Mar	Apr 1-15	Mai 16 – Okt 15	Okt 16-31	Nov	Dez
ABO	2000 (15)	2010 (13)	2008 (19)	1996 (14)	2002 (15)	1991 (17)	1988 (10)	1995 (7)
AIG	2003 (17)	1996 (10)	1999 (8)	1996 (7)	1998 (10)	1996 (9)	1990 (15)	1982 (7)
ALT	2003 (2)	2009 (3)	1990 (8)	1999 (4)	1983 (10)	2010 (6)	2007 (17)	1982 (20)
BAS	2000 (20)	2010 (22)	2006 (19)	2000 (14)	1994 (15)	1990 (14)	2008 (2)	1981 (3)
BER	2000 (1)	2010 (13)	2008 (8)	1996 (7)	2001 (10)	1984 (15)	2010 (12)	1981 (14)
BUS	2004 (20)	2010 (1)	2008 (8)	1995 (11)	1995 (1)	1999 (10)	1990 (18)	2004 (8)
CHU	2003 (4)	2004 (3)	1999 (8)	1999 (6)	1994 (20)	1988 (14)	1993 (11)	1984 (20)
DAV	2005 (10)	2004 (14)	1996 (10)	2004 (8)	1994 (15)	2002 (7)	2001 (1)	1999 (17)
DIS	1982 (20)	2004 (2)	2010 (5)	2006 (5)	1994 (17)	1991 (10)	1997 (14)	1995 (5)
ENG	2003 (4)	1994 (17)	1983 (7)	2005 (3)	1983 (9)	1994 (4)	2008 (13)	1999 (8)
GVE	2004 (7)	1988 (3)	2004 (22)	2006 (8)	1994 (11)	2002 (13)	1996 (7)	2009 (14)
GLA	2003 (2)	1994 (8)	1986 (4)	1998 (6)	1983 (4)	2008 (18)	2010 (21)	2008 (18)
GSB	2004 (2)	1994 (9)	2000 (18)	2004 (19)	1999 (13)	1991 (17)	2004 (11)	1993 (7)
GUT	1992 (14)	1988 (7)	2008 (8)	1998 (20)	1983 (10)	1981 (7)	1995 (1)	1986 (2)
INT	1986 (21)	2010 (1)	2008 (7)	1992 (12)	1983 (10)	2010 (11)	1990 (2)	1995 (15)
CDF	2003 (6)	2010 (16)	1999 (8)	2004 (1)	1983 (10)	1991 (17)	1987 (15)	1998 (3)
FRE	2000 (11)	2001 (7)	2000 (8)	1996 (5)	1983 (3)	2002 (22)	2008 (6)	1999 (4)
OTL	1986 (15)	2004 (22)	2004 (10)	1999 (22)	1994 (13)	1981 (10)	1990 (19)	1997 (5)
LUG	2004 (11)	2004 (2)	2004 (12)	2004 (20)	2010 (4)	1981 (16)	1997 (8)	1992 (9)
LUZ	2003 (2)	1992 (4)	1999 (5)	1996 (7)	1983 (4)	1981 (8)	2008 (11)	1997 (20)
MAG	2004 (2)	1992 (6)	2004 (13)	1992 (18)	1991 (6)	1981 (10)	1984 (7)	2009 (10)
MVE	1998 (21)	1994 (6)	2004 (16)	2004 (6)	2009 (10)	1991 (17)	1987 (18)	1995 (20)
NEU	2003 (22)	2000 (7)	1983 (8)	1995 (3)	1994 (5)	2002 (13)	1987 (5)	1981 (1)
PAY	2004 (7)	1994 (5)	2006 (22)	2006 (21)	1994 (14)	1994 (16)	1990 (7)	2009 (2)
PIO	1986 (15)	1999 (2)	2004 (9)	1999 (17)	1994 (21)	1981 (10)	2010 (15)	1993 (20)
PUY	2003 (2)	1994 (7)	2008 (4)	2000 (5)	1983 (10)	1991 (3)	2010 (2)	1986 (4)
ROB	2004 (10)	2000 (1)	2010 (19)	2006 (6)	1998 (16)	1996 (5)	1986 (21)	1983 (5)
RUE	1995 (3)	2010 (13)	1986 (19)	2000 (14)	1992 (10)	1999 (4)	2008 (11)	2009 (20)
SBE	1999 (21)	1985 (8)	2010 (3)	1992 (22)	1998 (16)	2010 (1)	1989 (9)	2003 (6)
STG	1986 (3)	2009 (9)	1986 (12)	2005 (7)	1994 (6)	1999 (4)	2008 (12)	1982 (5)
SAM	2004 (20)	2010 (9)	2004 (4)	2004 (14)	1994 (21)	1994 (11)	1995 (22)	2008 (5)
SHA	2004 (21)	2010 (14)	2008 (20)	1987 (8)	1983 (1)	1999 (7)	2010 (7)	2005 (9)
SCU	2005 (1)	2004 (8)	2010 (16)	1999 (9)	1987 (22)	2003 (18)	1996 (5)	1988 (6)
SIO	2003 (21)	2010 (1)	2008 (8)	1998 (3)	1983 (15)	1997 (11)	1990 (18)	2009 (18)
ULR	2004 (5)	1992 (2)	2010 (20)	1992 (20)	2002 (13)	2002 (4)	1997 (2)	1997 (20)
VAD	2003 (12)	1994 (8)	1985 (9)	1999 (20)	1983 (10)	2008 (15)	2010 (7)	1981 (4)
WYN	2000 (6)	1984 (9)	1983 (7)	1993 (14)	1983 (4)	2002 (15)	1987 (21)	1986 (7)
ZER	2005 (16)	2001 (7)	2000 (14)	2006 (14)	2004 (19)	1994 (9)	2001 (3)	1993 (5)
REH	1986 (6)	2010 (3)	2008 (14)	1995 (3)	2006 (8)	1999 (10)	2010 (7)	1981 (1)
KLO	2003 (21)	2010 (3)	2008 (14)	1998 (22)	1994 (21)	1999 (11)	2008 (11)	2005 (1)
SMA	1995 (22)	1994 (5)	1986 (19)	1998 (22)	1983 (12)	1994 (6)	2008 (16)	1997 (20)
NABZUE	2003 (16)	2015 (19)	2004 (16)	2000 (5)	2018 (20)	2008 (2)	2010 (12)	2008 (1)
NABBER	2015 (2)	2010 (11)	2006 (19)	2006 (9)	2018 (9)	2015 (16)	2010 (1)	2009 (3)
BKLI	2015 (6)	2010 (20)	2008 (3)	2012 (4)	2006 (1)	2012 (10)	2008 (10)	2017 (14)
NABLAU	2000 (11)	2010 (15)	2008 (15)	2006 (6)	2018 (17)	1991 (1)	2016 (8)	2007 (16)

Tabelle 7: «1 in 10» warmer Sommer 2060 RCP2.6

Station	Jan	Feb	Mar	Apr 1-15	Mai 16 – Okt 15	Okt 16-31	Nov	Dez
ABO	2000 (2)	2010 (7)	2010 (3)	1996 (1)	2001 (5)	1991 (5)	1988 (2)	1995 (4)
AIG	2003 (3)	2009 (4)	2004 (3)	1998 (5)	2006 (1)	1991 (5)	2008 (8)	1982 (3)
ALT	1995 (8)	2009 (3)	1990 (1)	1999 (3)	1983 (3)	2008 (3)	2007 (2)	1982 (1)
BAS	2004 (3)	2009 (4)	2008 (3)	1985 (4)	2006 (2)	1999 (6)	2008 (6)	1981 (8)
BER	1986 (5)	2010 (4)	2008 (6)	1996 (1)	1994 (5)	1984 (1)	2010 (8)	1981 (6)
BUS	2004 (1)	2010 (3)	2008 (7)	1995 (7)	2006 (5)	1994 (6)	1988 (2)	2004 (3)
CHU	2003 (4)	1982 (7)	1999 (1)	1999 (6)	1994 (6)	2008 (7)	1993 (5)	1984 (8)
DAV	2005 (2)	2010 (7)	2010 (5)	1998 (3)	1994 (7)	2002 (8)	2008 (3)	1995 (3)
DIS	1982 (4)	1992 (4)	2010 (2)	1995 (7)	1994 (7)	2008 (1)	1987 (7)	1983 (7)
ENG	2000 (6)	1994 (1)	1983 (1)	2005 (6)	1994 (7)	1994 (8)	2008 (1)	2009 (7)
GVE	2004 (3)	1992 (7)	2004 (3)	1981 (7)	1994 (8)	1997 (6)	2010 (6)	2009 (6)
GLA	2003 (7)	1994 (1)	1986 (2)	1999 (7)	1983 (6)	1997 (5)	2010 (1)	1993 (1)
GSB	2004 (5)	1994 (7)	2004 (3)	2004 (3)	2009 (8)	1999 (7)	2004 (7)	1993 (3)
GUT	1992 (6)	2010 (7)	2008 (3)	1998 (5)	1983 (6)	2007 (7)	1987 (1)	1989 (8)
INT	1986 (4)	2010 (3)	2008 (1)	1999 (2)	1983 (5)	2010 (4)	2007 (2)	1995 (8)
CDF	2003 (3)	2001 (1)	1999 (7)	2004 (7)	1994 (7)	2008 (8)	2008 (8)	1998 (8)
FRE	2000 (7)	2001 (1)	2000 (5)	2005 (2)	1994 (2)	2008 (1)	2008 (3)	1992 (1)
OTL	1986 (6)	2004 (6)	2004 (3)	1999 (8)	2006 (5)	1981 (5)	1990 (5)	1997 (1)
LUG	1998 (3)	2004 (7)	2004 (4)	2004 (2)	2006 (6)	1981 (5)	1997 (7)	1992 (8)
LUZ	2003 (7)	1983 (6)	1999 (1)	1981 (1)	1983 (1)	1981 (7)	2008 (5)	1997 (1)
MAG	2004 (6)	2004 (1)	2004 (3)	1992 (5)	1991 (1)	1981 (5)	1984 (8)	2009 (7)
MVE	1982 (1)	2010 (6)	2008 (5)	2004 (3)	2009 (5)	1991 (5)	1987 (7)	1986 (4)
NEU	2003 (5)	2010 (4)	2004 (3)	1993 (1)	1994 (8)	2002 (4)	2010 (8)	2009 (8)
PAY	2004 (3)	2010 (3)	2006 (2)	2006 (5)	2006 (1)	1994 (1)	1996 (3)	2009 (8)
PIO	1986 (5)	1999 (1)	2004 (3)	1992 (3)	1994 (2)	1981 (2)	2010 (2)	1999 (5)
PUY	1995 (2)	2010 (4)	2004 (3)	2006 (7)	1994 (7)	1991 (5)	2008 (7)	1986 (6)
ROB	1987 (5)	1999 (2)	2010 (6)	1981 (1)	1998 (5)	1996 (1)	1987 (4)	1993 (8)
RUE	1995 (8)	2010 (4)	2008 (3)	1999 (2)	1994 (3)	1999 (4)	2008 (7)	2009 (8)
SBE	1999 (7)	1999 (1)	2004 (2)	1992 (2)	1994 (1)	2010 (6)	1989 (3)	2003 (3)
STG	2001 (1)	2010 (2)	1982 (5)	2005 (5)	1994 (1)	1999 (1)	2008 (3)	1982 (1)
SAM	2004 (1)	2009 (3)	2010 (2)	1994 (3)	1994 (7)	1991 (4)	1995 (4)	2003 (1)
SHA	2004 (4)	2010 (6)	2008 (7)	2000 (1)	1983 (2)	1999 (6)	2010 (8)	1986 (6)
SCU	2003 (5)	1992 (4)	1992 (2)	2006 (8)	1988 (8)	1981 (6)	1990 (4)	1999 (4)
SIO	2003 (4)	2010 (8)	2010 (3)	1998 (6)	2010 (2)	1997 (7)	1990 (4)	2009 (1)
ULR	2004 (3)	1982 (7)	2010 (1)	1992 (6)	2002 (4)	2002 (1)	1996 (1)	1996 (4)
VAD	2003 (3)	1994 (1)	1996 (3)	1999 (7)	1983 (5)	2008 (1)	1990 (6)	1981 (7)
WYN	2000 (5)	2010 (2)	1983 (1)	1995 (6)	1983 (1)	1994 (8)	1988 (2)	1986 (8)
ZER	1995 (8)	2001 (4)	2010 (2)	2006 (1)	2004 (6)	1994 (8)	1990 (4)	1986 (4)
REH	1986 (4)	2010 (3)	2008 (3)	1995 (6)	1983 (5)	1999 (7)	2010 (1)	1987 (1)
KLO	2003 (4)	2010 (3)	2006 (2)	1999 (2)	1994 (3)	1999 (7)	2010 (8)	1987 (4)
SMA	2003 (5)	1994 (1)	2004 (3)	1999 (7)	1983 (1)	1999 (6)	2008 (2)	1986 (8)
NABZUE	2003 (2)	2005 (7)	2004 (4)	2000 (1)	2006 (5)	1999 (2)	2010 (2)	2018 (4)
NABBER	2003 (6)	2010 (7)	2008 (7)	2006 (6)	2019 (5)	2015 (5)	2010 (2)	2009 (6)
BKLI	2004 (6)	2010 (3)	2008 (5)	2005 (2)	2006 (1)	2012 (2)	2008 (2)	2017 (6)
NABLAU	1995 (2)	2010 (8)	2004 (4)	1993 (5)	2019 (1)	2012 (4)	2010 (7)	2012 (1)

Tabelle 8: «1 in 10» warmer Sommer 2060 RCP8.5

Station	Jan	Feb	Mar	Apr 1-15	Mai 16 – Okt 15	Okt 16-31	Nov	Dez
ABO	2003 (9)	2010 (17)	2010 (20)	1996 (6)	1989 (15)	1991 (16)	1988 (10)	1995 (20)
AIG	2003 (2)	2009 (20)	1999 (5)	2006 (7)	1992 (17)	1991 (3)	2010 (20)	1982 (7)
ALT	2003 (12)	2009 (3)	1990 (5)	1996 (7)	2010 (15)	2008 (9)	2007 (16)	1982 (20)
BAS	2000 (16)	2009 (14)	2010 (1)	2000 (5)	1994 (17)	1990 (7)	2008 (20)	1992 (5)
BER	2003 (22)	2010 (19)	2008 (20)	1996 (20)	2001 (10)	1984 (8)	2010 (20)	1981 (1)
BUS	2004 (8)	2010 (15)	2008 (3)	1995 (9)	1994 (13)	1994 (19)	1990 (4)	2004 (14)
CHU	2003 (7)	2004 (11)	1999 (8)	1999 (9)	1994 (16)	1991 (12)	1993 (17)	1984 (21)
DAV	2005 (10)	2004 (5)	2004 (11)	1998 (7)	1983 (10)	2002 (19)	2008 (1)	1998 (19)
DIS	2009 (10)	2004 (5)	2010 (9)	2006 (4)	2002 (17)	1991 (20)	1995 (10)	1995 (3)
ENG	2000 (19)	1994 (11)	2004 (17)	2005 (14)	1983 (11)	1994 (2)	1996 (3)	2009 (19)
GVE	2004 (11)	1994 (7)	2004 (16)	2006 (1)	2006 (1)	1997 (20)	1996 (21)	2009 (18)
GLA	2003 (12)	1994 (8)	2004 (8)	1998 (14)	2010 (17)	2008 (8)	2010 (5)	2008 (11)
GSB	2004 (12)	1994 (1)	1999 (11)	2004 (18)	2000 (16)	1991 (15)	2004 (20)	1993 (21)
GUT	1992 (19)	1988 (11)	2008 (8)	1998 (10)	1992 (11)	1986 (6)	1995 (3)	2004 (18)
INT	1986 (7)	2010 (15)	2010 (1)	1996 (5)	1983 (10)	1991 (15)	2007 (15)	1995 (16)
CDF	1994 (8)	2001 (11)	1999 (8)	1998 (17)	2006 (11)	1991 (12)	1987 (8)	1998 (10)
FRE	2000 (5)	2001 (11)	2000 (11)	2004 (2)	2009 (11)	2002 (22)	2008 (20)	1999 (3)
OTL	2006 (10)	2004 (18)	2004 (20)	1992 (19)	1994 (4)	1981 (19)	1990 (11)	1997 (8)
LUG	1998 (11)	2004 (21)	2004 (10)	2002 (3)	2005 (10)	1981 (2)	1997 (8)	1997 (7)
LUZ	2003 (2)	1992 (21)	2004 (21)	2005 (20)	1983 (11)	1981 (17)	1990 (4)	1997 (6)
MAG	2004 (20)	2004 (1)	2004 (2)	1992 (11)	1991 (20)	1981 (10)	1984 (4)	2009 (18)
MVE	1998 (14)	2010 (22)	2004 (15)	1992 (17)	2003 (2)	1991 (10)	1988 (19)	1986 (11)
NEU	2004 (22)	2000 (11)	2004 (13)	1987 (21)	1992 (10)	2002 (22)	1996 (12)	1981 (10)
PAY	2004 (16)	1994 (6)	2004 (9)	2006 (10)	2010 (11)	1994 (15)	1990 (7)	2009 (2)
PIO	1986 (9)	1999 (14)	2006 (18)	1992 (22)	1986 (15)	1981 (18)	2010 (11)	1999 (17)
PUY	2003 (16)	1994 (8)	2008 (16)	2006 (14)	1995 (10)	1991 (10)	2010 (2)	1986 (1)
ROB	1987 (10)	2010 (16)	1999 (5)	1981 (5)	2010 (14)	2010 (17)	2008 (1)	1982 (6)
RUE	1995 (16)	2010 (13)	2008 (15)	1995 (9)	1994 (11)	1999 (5)	2008 (11)	1992 (1)
SBE	1999 (22)	1985 (8)	2006 (18)	1992 (11)	1993 (17)	2010 (16)	1989 (16)	2003 (3)
STG	2003 (21)	2009 (19)	1986 (17)	2005 (7)	1983 (10)	1999 (5)	2008 (15)	2008 (18)
SAM	1987 (10)	2009 (6)	2004 (4)	1994 (17)	1983 (16)	1994 (13)	1995 (5)	2008 (4)
SHA	2004 (7)	2010 (19)	2008 (21)	2000 (5)	1983 (1)	1999 (19)	2010 (7)	2005 (10)
SCU	2000 (10)	2004 (22)	2004 (10)	1999 (11)	1992 (14)	1990 (7)	1996 (3)	1999 (22)
SIO	2003 (5)	1992 (17)	2010 (12)	1998 (22)	1985 (17)	1991 (16)	1996 (11)	2009 (11)
ULR	2004 (8)	1982 (21)	2010 (5)	2006 (3)	1982 (13)	2002 (5)	1996 (14)	2003 (5)
VAD	2003 (16)	1994 (8)	1985 (9)	1999 (22)	1994 (1)	2008 (4)	1990 (13)	1981 (20)
WYN	2000 (3)	1984 (12)	2010 (10)	1995 (20)	2005 (10)	2002 (5)	1996 (12)	1986 (22)
ZER	1995 (9)	2001 (20)	2008 (3)	1992 (15)	1982 (10)	1994 (22)	2001 (1)	1986 (20)
REH	1986 (11)	2010 (1)	2008 (20)	1998 (17)	1994 (13)	1999 (16)	2010 (7)	2004 (11)
KLO	2003 (3)	2010 (15)	2008 (3)	1998 (9)	1983 (11)	1990 (14)	2004 (20)	1987 (6)
SMA	2003 (22)	1994 (6)	1986 (13)	1995 (22)	1994 (3)	1994 (19)	2008 (19)	1986 (2)
NABZUE	2003 (16)	2009 (17)	2004 (12)	2000 (11)	2015 (16)	1999 (11)	2010 (2)	2008 (12)
NABBER	2004 (6)	2010 (17)	2008 (17)	2006 (9)	2019 (12)	2015 (13)	2010 (18)	2009 (9)
BKLI	2015 (6)	2010 (15)	2008 (12)	2006 (13)	2019 (12)	2012 (16)	2008 (17)	2017 (4)
NABLAU	1995 (15)	1994 (3)	2004 (13)	2006 (1)	1994 (10)	2015 (1)	2010 (19)	2012 (14)